

第二章 尺度分析与自由大气中的风场

2.1 尺度概念和大气运动的分类

2.1.1 尺度概念

尺度

具有代表意义、能反映该物理量一般大小的量值，又称特征值。其大小是用数量级来表示的。

示例

水平风速在 $5\sim 25\text{m/s}$ 之间，特征值为 10m/s 。 $u = Uu^*, v = Uv^*$
其中， $U\sim 10\text{m/s}$ 是特征值 Q ， u^* 和 v^* 为数值在 $0.5\sim 2.5$ 之间的无量纲量 q^* 。

物理量表示

将任一物理量写作： $q = Qq^*$

特征量

Q 表示该物理量的一般大小，常量，有量纲。量纲不等同于单位，它表示了物理量的种类

无量纲量

q^* 无量纲量，量级在 10^0 ，表示物理量的具体大小，变量，没有量纲。
比较物理量的大小，实际就是比较特征量的大小。这里的 q 是广义的，包括气象要素及方程各项。

示例

已知 $u = Uu^*, t = \tau t^*$ ，则： $\frac{\partial u}{\partial t} = \frac{\partial Uu^*}{\partial \tau t^*} = \frac{U}{\tau} \frac{\partial u^*}{\partial t^*}$ ， $\frac{U}{\tau}$ 是 $\frac{\partial u}{\partial t}$ 的特征量， $\frac{\partial u^*}{\partial t^*}$ 是其无量纲量。

2.1.2 大气运动的分类

水平尺度

根据大气运动的水平尺度，大气运动可以分为（单位为 km）：
行星尺度 10^4 长波、副热带、高压 热带行星、尺度波动 （介于行星尺度与天气尺度之间）
天气尺度 10^3 温带气旋、反气旋 云团、热带气旋
中尺度 10^2 锋面、背风波、飚线 中尺度对流群
小尺度 10^1 积雨云、龙卷 对流单体
微尺度 10^0 边界层涡动

大尺度

$L\sim 10^6\text{m}$ $D\sim 10^4\text{m}$ $U\sim 10\text{m/s}$ $\tau\sim 10^5\text{s}$ 大尺度时间尺度为水平尺度/速度尺度

中尺度

$L\sim 10^5\text{m}$ $D\sim 10^4\text{m}$ $U\sim 10\text{m/s}$ $\tau\sim 10^5\text{s}$ 中尺度的时间尺度并不是这样

小尺度

$L\sim 10^4\text{m}$ $D\sim 10^3\sim 4\text{m}$ $U\sim 10\text{m/s}$ $\tau\sim 10^4\text{s}$ 小尺度也不是这样

简化思想

大气运动非常复杂→尺度的多样性→不同尺度的运动→运动性质不一样，如何用可以描述一切现象的方程组来反应这种性质的不同？所以需要进行化简，来反映出不同尺度运动的独特性质。

简化意义

从物理角度看：影响大气的因子很多，重点不突出。
从数学角度看：大气运动基本方程组是一个高度非线性的偏微分方程组，求解困难。
本课程的研究目的：大尺度的大气运动。因此，需要简化大气运动基本方程组。

奥卡姆剃刀原理

在所有能够完美描述已有观测的可计算理论中，较短的可计算理论在估计下一次观测结果的概率时具有较大权重。同时，其假设需要尽可能地少，以便适用于更大的范围。

简化方法

从物理上看：抓住主要因子，忽略次要因子，把握运动的物理本质和基本性质，反映物理规律更清晰。
从数学上看：保留各方程中的大项，略去小项，使得简化后的方程组简单，便于数学处理。

尺度分析

Charney(1948)首先倡导利用尺度分析法，对大气运动基本方程组进行分析与简化。
Burger(1958)等人进一步发展完善，这一方法在现代大气动力学和数值天气预报研究中广泛应用。

2.2 基本方程组的尺度分析

2.2.1 分析基本概念

尺度分析法 尺度分析法是依据表征某类运动系统的运动状态和热力状态各物理量的特征值，估计大气运动方程中各项量级大小的一种方法。根据尺度分析的结果，结合物理上考虑，略去方程中量级较小的项，便可得到简化方程，并可分析运动系统的某些基本性质。

分析目的 对方程进行简化，突出主要因子，研究运动的主要特征。是理论分析的第一步。

基本规则 尺度的大小是用数量级表示的，在尺度分析中，必然涉及数量级的运算，故要明确数量级运算规则：

- ① 几个变量之和数量级，认为最大项的量级就是变量之和的数量级。
- ② 有 2-3 个变量的数量级相同，如果它们之间没有依从关系，则其和(差)的数量级和单个数量级相同；如果有依从关系，则其和的数量级可以小于单个变量的数量级，究竟多大要进一步分析。

例如：水平散度 $\frac{\partial u}{\partial x} + \frac{\partial v}{\partial y} \leq \frac{U}{L}$ 对大尺度运动而言， $\frac{\partial u}{\partial x}, \frac{\partial v}{\partial y}$ 两项符号一般相反。

- ③ 两个变量乘积的数量级一般为变量数量级的乘积。
- ④ 在一个方程式中，数量级最大项至少要有两项。如果方程中只有一个最大项，不是各项量级估计不正确，就是原方程不成立。

基本步骤 ① 写出方程中各项的特征值 ② 根据运动的类型写出各项的数量级

③ 略去小项、保留大项得到各级近似简化方程

④ 根据简化的结果，揭示出不同类型运动的基本性质和特点。

需求尺度 在尺度分析中，为了确定大气运动方程中各项的量级，应确定以下尺度：

- ① 空间和时间尺度
- ② 各物理量尺度
- ③ 各物理量变动尺度

2.2.2 物理量尺度

2.2.2.1 基本物理量尺度情况

运动尺度 物理量：水平速度尺度 U 铅直速度尺度 W

变动尺度：观测表明，速度场的变动尺度可以达到本身的量级： $\Delta u \sim U, \Delta v \sim U, \Delta w \sim W$

空间尺度 物理量：水平(长度)尺度 L 铅直(厚度)尺度 D 空间尺度没有变动

涡旋系统的水平尺度取其特征半径，波动则为波长的 1/4。

$$\frac{\partial u}{\partial x} \sim \frac{\partial u}{\partial y} \sim \frac{\partial v}{\partial x} \sim \frac{\partial v}{\partial y} \sim \frac{U}{L} \quad \frac{\partial u}{\partial z} \sim \frac{\partial v}{\partial z} \sim \frac{U}{D} \quad \frac{\partial w}{\partial x} \sim \frac{\partial w}{\partial y} \sim \frac{W}{L} \quad \frac{\partial w}{\partial z} \sim \frac{W}{D}$$

时间尺度 物理量：运动系统演变经历一个阶段所需要的特征时间，用符号 τ 表示，一般表示为 $\tau = L/C$

对于移速不太快的系统，一般认为 $C \sim U$ ，那么： $\tau = L/U$ 称为平流时间尺度

大尺度系统： $\tau = L/U$ $\frac{\partial u}{\partial t} \sim \frac{\partial v}{\partial t} \sim \frac{CU}{L} \sim \frac{U^2}{L}$ $\frac{\partial w}{\partial t} \sim \frac{CW}{L} \sim \frac{UW}{L}$

中小尺度系统： $\tau \geq L/U$

热力学尺度 p, ρ, T, θ 等。变动尺度：时空变动值相对于其本身很小，达不到本身的量级。

可以分为两部分：① 表征基本状态的基本热力学变量（仅与高度 z 有关）

② 扰动量：相对于基本量的偏差（时空函数）

气压 $p = \bar{p}(z) + p'(x, y, z, t) \sim P + \Delta P$ 密度 $\rho = \bar{\rho}(z) + \rho'(x, y, z, t) \sim \pi + \Delta \pi$

温度 $T = \bar{T}(z) + T'(x, y, z, t) \sim T^* + \Delta T^*$ 位温 $\theta = \bar{\theta}(z) + \theta'(x, y, z, t) \sim \Theta + \Delta \Theta$

① 基本热力学变量随高度的改变量 $\frac{d(\bar{x})}{dz}$ 可以达到本身的量级。

② 扰动热力学变量的时空变动值 $\frac{\partial(x')}{\partial x}$ 可达到本身的量级。

分析说明：量级分析

先定义基本状态的铅直厚度尺度（标高） $H = \frac{RT^*}{g} \sim 10^4 m$ 。则气压变换为 $p = \rho RT \Rightarrow P \sim \pi RT^* \sim \pi g H$

$$\frac{d\bar{p}}{dz} = -\bar{\rho}g \sim \pi g \sim \frac{P}{H} \quad \frac{d \ln \bar{p}}{dz} \sim \frac{1}{H} \Rightarrow \frac{d \ln \bar{p}}{dz} \sim \frac{1}{H} \quad \text{基本热力学变量随高度的改变量可以达到本身的量级}$$

据观测：扰动热力学变量的时空变动值可以达到本身的量级

$$\text{空间: } \frac{\partial p}{\partial x} = \frac{\partial [\bar{p}(z) + p']}{\partial x} = \frac{\partial p'}{\partial x} \sim \frac{\Delta P}{L} \sim \frac{\partial p}{\partial y}, \quad \text{时间: } \frac{\partial p}{\partial t} = \frac{\partial p'}{\partial t} \sim \frac{\Delta P}{\tau}, \quad \text{高度: } \frac{\partial p}{\partial z} = \frac{\partial [\bar{p}(z) + p']}{\partial z} = \frac{\partial \bar{p}(z)}{\partial z} + \frac{\partial p'}{\partial z} \sim \pi g + \frac{\Delta P}{D}$$

2.2.2.2 基本方程的物理量约束关系

尺度分析 各个物理量尺度不是孤立的，它们必须受基本方程组的制约，通过分析方程中各项量级，可以找到这些物理量之间的约束关系。

基本概念 已知量：一般认为 L, D, τ, U 可根据不同类型运动选定，基本状态热力学变量、标高等是已知的。

求解量：垂直速度 W 、各类扰动尺度 $\Delta P, \Delta \pi, \Delta T^*$ 等。

连续方程 第四条规则： $\frac{W}{D} \leq \frac{U}{L} \Rightarrow W \leq \frac{DU}{L}$ （给出 W 上限） 解释大尺度运动： $L \gg D \Rightarrow W \ll U$ ，准水平运动

连续方程的尺度分析与垂直速度约束关系的建立

假设大气不可压缩， $\frac{d\rho}{dt} + \rho \left(\frac{\partial u}{\partial x} + \frac{\partial v}{\partial y} + \frac{\partial w}{\partial z} \right) = 0 \Rightarrow \frac{d \ln \rho}{dt} + \frac{\partial u}{\partial x} + \frac{\partial v}{\partial y} + \frac{\partial w}{\partial z} = 0$ 利用小扰动假设：

$$\ln \rho = \ln (\bar{\rho} + \rho') = \ln \bar{\rho} \left(1 + \frac{\rho'}{\bar{\rho}} \right) = \ln \bar{\rho} + \ln \left(1 + \frac{\rho'}{\bar{\rho}} \right) \quad \text{因为 } \frac{\rho'}{\bar{\rho}} \ll 1 \Rightarrow \ln \left(1 + \frac{\rho'}{\bar{\rho}} \right) \approx \frac{\rho'}{\bar{\rho}}$$

所以 $\ln \rho \approx \ln \bar{\rho} + \frac{\rho'}{\bar{\rho}}$ 回代原式 $\Rightarrow \frac{d \ln \bar{\rho}}{dt} + \frac{d}{dt} \left(\frac{\rho'}{\bar{\rho}} \right) + \frac{\partial u}{\partial x} + \frac{\partial v}{\partial y} + \frac{\partial w}{\partial z} = 0$ 对该式执行尺度分析：

$$\boxed{\begin{matrix} W \frac{\partial \ln \bar{\rho}}{\partial z} + \frac{\partial}{\partial t} \left(\frac{\rho'}{\bar{\rho}} \right) + \vec{V}_h \cdot \nabla_h \left(\frac{\rho'}{\bar{\rho}} \right) + W \frac{\partial}{\partial z} \left(\frac{\rho'}{\bar{\rho}} \right) + \frac{\partial u}{\partial x} + \frac{\partial v}{\partial y} + \frac{\partial w}{\partial z} = 0 \\ \frac{W}{H} \leq \frac{W}{D} \quad \frac{\Delta \pi}{\pi \tau} \ll \frac{U}{L} \quad \frac{\Delta \pi}{\pi} \frac{U}{L} \ll \frac{U}{L} \quad \frac{\Delta \pi}{\pi} \frac{W}{D} \ll \frac{W}{D} \quad \frac{U}{L} \quad \frac{W}{D} \end{matrix}}$$

为了满足方程平衡，最后两项必须量级

相当。同时因为 $\frac{\partial u}{\partial x} + \frac{\partial v}{\partial y} \leq \frac{U}{L}$ ，所以 $\frac{W}{D} \leq \frac{U}{L}$ 或 $W \leq \frac{D}{L} U$ ，这给出了 W 的上限。

水平方程 水平运动方程的尺度分析： $\frac{\Delta P}{\pi L} \approx \frac{U^2}{L} + f_0 U$ 力的平衡取决于特征惯性力项和科氏力项的比值

推导

$$\frac{\partial u}{\partial t} + u \frac{\partial u}{\partial x} + v \frac{\partial u}{\partial y} + w \frac{\partial u}{\partial z} - f v = -\frac{1}{\rho} \frac{\partial p}{\partial x} \quad \text{各项尺度分析为 } \frac{U}{\tau} + \frac{U^2}{L} + \frac{U^2}{L} + \frac{WU}{D} \Rightarrow \frac{U^2}{L}, fU, \frac{\Delta P}{\pi L} \text{ 即为上式}$$

为了便于理解，此处引入罗斯贝数 $Ro = U/f_0 L$ ，表示惯性力和科氏力的相对重要性。

$$\textcircled{1} \text{ 大尺度运动有: } \frac{U^2/L}{f_0 U} = \frac{U}{f_0 L} \ll 1, \quad \frac{\Delta P}{\pi L} \approx f_0 U \Rightarrow \frac{\Delta P}{\pi} \sim f_0 U L \sim 10^3 m^2/s^2$$

$$\text{压力变化的相对尺度: } P \sim \pi g H, \Delta P \sim \pi f_0 U L \Rightarrow \frac{\Delta P}{P} \sim \frac{f_0 L U}{g H} \sim 10^{-2} \quad P \sim 10^5 N/m^2 \quad \pi \sim 10^0 kg \cdot m^{-3}$$

$$\textcircled{2} \text{ 中小尺度运动有: } \frac{U^2/L}{f_0 U} = \frac{U}{f_0 L} \geq 1 \Rightarrow \frac{\Delta P}{\pi L} \approx \frac{U^2}{L}$$

状态方程 $\frac{\Delta \theta}{\theta} \sim \frac{\Delta T^*}{T^*} \sim \frac{\Delta \pi}{\pi} \sim \frac{\Delta P}{P}$ 大尺度运动： $\frac{\Delta \theta}{\theta} \sim \frac{\Delta T^*}{T^*} \sim \frac{\Delta \pi}{\pi} \sim \frac{\Delta P}{P} \sim \frac{f_0 L U}{g H} \sim 10^{-2}$

绝热方程 $\frac{U \Delta \theta}{L \theta} \sim \frac{N^2}{g} W \Rightarrow W \sim \frac{U g}{N^2 L} \frac{\Delta \theta}{\theta} \leq 10^{-1} \frac{D}{L} U$ 大尺度运动： $\frac{\Delta \theta}{\theta} \sim \frac{f_0 L U}{g H} \Rightarrow W \sim \frac{f_0 U^2}{H N^2} \sim 10^{-2} m s^{-1}$

水平平流引起的局地温度变化率~垂直运动引起的绝热加热/冷却率。

将其他热力学扰动与气压扰动联系起来 ($\frac{\Delta \theta}{\theta} \sim \frac{\Delta P}{P}$)，并验证垂直速度 W 的估计是自洽的。

2.2.2.3 中纬度大尺度运动的特征尺度和环境参数

水平尺度	$L \sim 10^6 m$	时间尺度	$\tau \sim L/U \sim 10^5 s$	铅直厚度尺度	$D \sim H \sim 10^4 m$
水平速度尺度	$U \sim 10 ms^{-1}$	铅直速度尺度	$W \sim 10^{-2} ms^{-1}$	大气标高	$H \sim 10^4 m$
中纬度地转参数	$f_0 \sim 10^{-4} s^{-1}$	重力加速度	$g \sim 10 ms^{-2}$	层结参数	$N \sim 10^{-2} s^{-1}$
空气粘性系数	$\gamma \sim 10^1 m^2 s^{-1}$	气压尺度	$P \sim 10^5 N/m^2$	温度尺度	$T^* \sim 10^2 K$
密度尺度	$\rho_0 \sim \pi \sim 10^0 kg \cdot m^{-3}$	温度水平变动尺度	$\delta_h T^* \sim 10 K$		
气压水平变动尺度	$\delta_h P \sim 10^3 N/m^2$	气压垂直变动尺度	$\delta_z P \sim P \sim 10^5 N/m^2$		
扰动密度变动尺度与密度尺度之比	$\Delta \rho / \rho \sim 10^{-2}$				
扰动气压变动尺度与密度尺度之比	$\Delta P / \rho \sim 10^3 m^2 / s^2$				

2.2.3 基本方程组的简化

基本特点 根据实际观测，中纬度大尺度大气运动具有以下特点：**准定常，准水平，准地转平衡，准静力平衡，准水平无辐散，涡旋运动**。方程简化是否正确，与实际观测比较来验证。

2.2.3.1 运动方程的简化

x方向	方程	$\frac{\partial u}{\partial t}$	$+u \frac{\partial u}{\partial x} + v \frac{\partial u}{\partial y}$	$+w \frac{\partial u}{\partial z}$	$= -\frac{1}{\rho} \frac{\partial p}{\partial x}$	$-\tilde{f}w$	$+fv$	$+\gamma \nabla^2 u$	
	各项尺度	U/τ	U^2/L	WU/H	$\frac{1}{\rho_0} \frac{\delta_h P}{L}$	$f_0 W$	$f_0 U$	$\gamma \frac{U}{H^2}$	
	数量级	10^{-4}	10^{-4}	10^{-5}	10^{-3}	10^{-6}	10^{-3}	10^{-6}	单位: ms^{-2}

其中摩擦力项的解释: $\nabla^2 u = \frac{\partial^2 u}{\partial x^2} + \frac{\partial^2 u}{\partial y^2} + \frac{\partial^2 u}{\partial z^2} \sim \frac{U}{L^2} + \frac{U}{L^2} + \frac{U}{H^2} \sim \frac{U}{H^2}$

y方向	方程	$\frac{\partial v}{\partial t}$	$+u \frac{\partial v}{\partial x} + v \frac{\partial v}{\partial y}$	$+w \frac{\partial v}{\partial z}$	$= -\frac{1}{\rho} \frac{\partial p}{\partial y}$	$-fu$	$+\gamma \nabla^2 v$	
	各项尺度	U/τ	U^2/L	UW/H	$\frac{1}{\rho_0} \frac{\delta_h P}{L}$	$f_0 U$	$\gamma \frac{U}{H^2}$	
	数量级	10^{-4}	10^{-4}	10^{-5}	10^{-3}	10^{-3}	10^{-6}	单位: ms^{-2}

z方向	方程	$\frac{\partial w}{\partial t}$	$+u \frac{\partial w}{\partial x} + v \frac{\partial w}{\partial y}$	$+w \frac{\partial w}{\partial z}$	$= -\frac{1}{\rho} \frac{\partial p}{\partial z}$	$-g$	$+fu$	$+\gamma \nabla^2 w$	
	各项尺度	W/τ	UW/L	W^2/H	$\frac{1}{\rho_0} \frac{\delta_z P}{H}$	G	$f_0 U$	$\gamma \frac{W}{H^2}$	
	数量级	10^{-7}	10^{-7}	10^{-8}	10^1	10^1	10^{-3}	10^{-9}	单位: ms^{-2}

分子粘性力 **分子粘性力可以忽略**。分子粘性很小，在短期天气过程不计，气候学中因为能量需要耗散，不能忽略
高层：层流，分子粘性力和湍流粘性力均可忽略（自由大气）
底层：湍流粘性力重要，分子粘性力可略去（湍流边界层）

零级近似	只保留量级最大项，得到	$0 = -\frac{1}{\rho} \frac{\partial p}{\partial x} + fv$	中纬度大尺度运动具有准地转特性
		$0 = -\frac{1}{\rho} \frac{\partial p}{\partial y} - fu$	
		$0 = -\frac{1}{\rho} \frac{\partial p}{\partial z} - g$	中纬度大尺度运动具有准静力平衡特性

如果三个运动方程中速度都取为零($u, v, w = 0$)，正好就是上式，故称为**流体静力平衡方程**。

然而，零级近似时并非没有速度，而是指没有加速度的存在。

压力与高度 **垂直气压梯度力 = 浮力**，大尺度运动中，气压相当精确地等于该点以上单位横截面积气柱的重量。

一级近似	$\frac{\partial u}{\partial t} + u \frac{\partial u}{\partial x} + v \frac{\partial u}{\partial y} = -\frac{1}{\rho} \frac{\partial p}{\partial x} + fv$	铅直运动的影响可略去不计。
	$\frac{\partial v}{\partial t} + u \frac{\partial v}{\partial x} + v \frac{\partial v}{\partial y} = -\frac{1}{\rho} \frac{\partial p}{\partial y} - fu$	

零级近似方程不含有时间导数项，是诊断方程，不能作为预报方程，而一级近似可作为预报方程。

2.2.3.2 连续方程的简化

连续方程 $\frac{\partial \rho}{\partial t} + u \frac{\partial \rho}{\partial x} + v \frac{\partial \rho}{\partial y} + w \frac{\partial \rho}{\partial z} + \rho \left(\frac{\partial u}{\partial x} + \frac{\partial v}{\partial y} + \frac{\partial w}{\partial z} \right) = 0$ 原始方程中密度可以变为基本量+扰动量

$$\frac{\partial \rho'}{\partial t} + u \frac{\partial \rho'}{\partial x} + v \frac{\partial \rho'}{\partial y} + w \frac{\partial \rho'}{\partial z} + \bar{\rho} \left(\frac{\partial u}{\partial x} + \frac{\partial v}{\partial y} + \frac{\partial w}{\partial z} \right) + \rho' \left(\frac{\partial u}{\partial x} + \frac{\partial v}{\partial y} + \frac{\partial w}{\partial z} \right) = 0$$

方程 $\frac{\partial}{\partial t} \left(\frac{\rho'}{\bar{\rho}} \right) + u \frac{\partial}{\partial x} \left(\frac{\rho'}{\bar{\rho}} \right) + v \frac{\partial}{\partial y} \left(\frac{\rho'}{\bar{\rho}} \right) + \frac{w}{\bar{\rho}} \frac{\partial \rho'}{\partial z} + \bar{\rho} \left(\frac{\partial u}{\partial x} + \frac{\partial v}{\partial y} + \frac{\partial w}{\partial z} \right) + \frac{\rho'}{\bar{\rho}} \left(\frac{\partial u}{\partial x} + \frac{\partial v}{\partial y} + \frac{\partial w}{\partial z} \right) = 0$

尺度 $\frac{U \Delta \pi}{L \pi} \quad \frac{U \Delta \pi}{L \pi} \quad \frac{W \Delta \pi}{H \pi} \quad \frac{W}{H} \quad \frac{U}{L} \quad \frac{W}{H} \quad \frac{U \Delta \pi}{L \pi} \quad \frac{W \Delta \pi}{H \pi}$

数量级 $10^{-7} \quad 10^{-7} \quad 10^{-8} \quad 10^{-6} \quad 10^{-5} \quad 10^{-6} \quad 10^{-7} \quad 10^{-8}$

零级简化 $\frac{\partial u}{\partial x} + \frac{\partial v}{\partial y} = 0$ 水平无辐散，中纬度大尺度运动具有准水平无辐散特性

一级简化 $\frac{\partial u}{\partial x} + \frac{\partial v}{\partial y} + \frac{\partial w}{\partial z} + w \frac{\partial \ln \bar{\rho}}{\partial z} = 0 \Leftrightarrow \bar{\rho} \left(\frac{\partial u}{\partial x} + \frac{\partial v}{\partial y} \right) + \frac{\partial \bar{\rho} w}{\partial z} = 0$

利用上、下边界条件 $z = 0, w = 0; z \rightarrow \infty, \bar{\rho} w = 0$ 可得: $\int_0^\infty \bar{\rho} \left(\frac{\partial u}{\partial x} + \frac{\partial v}{\partial y} \right) dz = 0$

这表明上下层速度辐合、辐散相互补偿，整层大气是水平无辐散的，这就是著名的达因补偿原理。

2.2.3.3 热力学方程的简化

方程变换

考虑短期天气过程，可将大气运动视为绝热，不存在非绝热加热项，即 $c_p \frac{dT}{dt} - \frac{1}{\rho} \frac{dp}{dt} = 0$ ，展开：

$$\Rightarrow \frac{\partial T}{\partial t} + u \frac{\partial T}{\partial x} + v \frac{\partial T}{\partial y} + w \frac{\partial T}{\partial z} - \frac{1}{c_p \rho} \left(\frac{\partial p}{\partial t} + u \frac{\partial p}{\partial x} + v \frac{\partial p}{\partial y} + w \frac{\partial p}{\partial z} \right) = 0 \quad \text{引入静力平衡方程 } \frac{\partial p}{\partial z} = -\rho g$$

可得: $-\frac{w}{c_p \rho} \frac{\partial p}{\partial z} = \frac{wg}{c_p} = \gamma_d w$ (考虑空气干绝热递减率 $\gamma_d = -\frac{dT}{dz} = \frac{g}{c_p} \approx 0.967 K/100m$)

环境温度递减率 $\gamma = -\frac{\partial T}{\partial z} \approx 0.65 K/100m \Rightarrow \frac{\partial T}{\partial t} + u \frac{\partial T}{\partial x} + v \frac{\partial T}{\partial y} + w(\gamma_d - \gamma) - \frac{RT}{c_p p} \left(\frac{\partial p}{\partial t} + u \frac{\partial p}{\partial x} + v \frac{\partial p}{\partial y} \right) = 0$

尺度分析 **方程** $\frac{\partial T}{\partial t} + u \frac{\partial T}{\partial x} + v \frac{\partial T}{\partial y} + w(\gamma_d - \gamma) - \frac{RT}{c_p p} \left(\frac{\partial p}{\partial t} + u \frac{\partial p}{\partial x} + v \frac{\partial p}{\partial y} \right) = 0$

尺度 $\frac{\delta_h T^*}{\tau} \quad \frac{U \delta_h T^*}{L} \quad W(\gamma_d - \gamma) \quad \frac{RT^* \delta_h P}{c_p \tau P} \quad \frac{RT^* U \delta_h P}{c_p P}$

数量级 $10^{-5} \quad 10^{-5} \quad 10^{-5} \quad 10^{-6} \quad 10^{-6}$

温度的局地变化、温度平流和垂直运动所引起的温度变化为最大三项，空气膨胀对外做功项为最小项。

零级简化 $\frac{\partial T}{\partial t} + u \frac{\partial T}{\partial x} + v \frac{\partial T}{\partial y} + w(\gamma_d - \gamma) = 0$ 在天气尺度运动中，温度的局地变化主要是由于温度平流和垂直运动所引起的温度变化引起的。在寒潮等情形下，温度平流是主要的影响因子。

2.2.3.4 总结

平衡方程组 $\begin{cases} -\frac{1}{\rho} \frac{\partial p}{\partial x} + f v = 0 & \text{水平运动方程，地转平衡} \\ -\frac{1}{\rho} \frac{\partial p}{\partial y} - f u = 0 & \text{水平运动方程，地转平衡} \\ -\frac{1}{\rho} \frac{\partial p}{\partial z} - g = 0 & \text{垂直运动方程，静力平衡} \\ \frac{\partial u}{\partial x} + \frac{\partial v}{\partial y} = 0 & \text{连续方程，水平速度散度为零} \end{cases}$ 不含时间变化，不含有热力学方程

揭示了中纬度 ($f = 10^{-4}$)、准定常 (无 t)、准水平 (无 w)、准地转平衡、准静力平衡、准水平无辐散 (连续方程无依从关系得到的)、自由大气 (无摩擦力) 的大尺度运动、涡旋运动 (任意二维运动可以表示为无辐散涡旋流和无旋辐散流的组合，由于无辐散，所以定常涡旋)

2.2.4 无量纲方程及参数

2.2.4.1 无量纲方程

概述 将动力学方程无量纲化后，一些由基本尺度 L, D, τ, U 和环境变量尺度 f_0, g, H 组成的无量纲数，这些无量纲数有着明确的物理意义。无量纲方程和无量纲参数在大气运动进行动力分析时十分有用。

步骤 ① 把方程各项写作**特征量×无量纲量**的形式。
② 用方程中**某一项的特征量同除方程的每一项**（量纲齐次性原理）
无量纲方程中各项前面的系数：无量纲数体现了各项的相对重要性。

方程
$$\varepsilon \frac{\partial u}{\partial t^*} + R_o \left(u^* \frac{\partial u^*}{\partial x^*} + v^* \frac{\partial u^*}{\partial y^*} \right) + \frac{D}{H} \frac{1}{R_i} w^* \frac{\partial u^*}{\partial z^*} = -R_1 \frac{1}{\rho^*} \frac{\partial p'^*}{\partial x^*} + f^* v^*$$

方程推导

基于 x 方向运动方程： $\frac{\partial u}{\partial t} + u \frac{\partial u}{\partial x} + v \frac{\partial u}{\partial y} + w \frac{\partial u}{\partial z} = -\frac{1}{\rho} \frac{\partial p'}{\partial x} + f v$ 令 $(x, y) = L(x^*, y^*), (u, v) = U(u^*, v^*), p' = p'^*(\Delta P)$

$z = Dz^*, w = Ww^*, \bar{\rho} = \pi \rho^*, t = \tau t^*, f = f_0 f^*$ 回代原式，可得： $\frac{U}{\tau} \frac{\partial u^*}{\partial t^*} + \frac{U^2}{L} \left(u^* \frac{\partial u^*}{\partial x^*} + v^* \frac{\partial u^*}{\partial y^*} \right) + \frac{WU}{D} w^* \frac{\partial u^*}{\partial z^*}$

$= -\frac{\Delta P}{\pi L} \frac{1}{\rho^*} \frac{\partial p'^*}{\partial x^*} + f_0 U f^* v^*$ 同除 $f_0 U$ ，得到： $\frac{1}{f_0 \tau} \frac{\partial u^*}{\partial t^*} + \frac{U}{f_0 L} \left(u^* \frac{\partial u^*}{\partial x^*} + v^* \frac{\partial u^*}{\partial y^*} \right) + \frac{D}{H} \frac{U^2/D^2}{N^2} w^* \frac{\partial u^*}{\partial z^*} = -\frac{\Delta p}{\pi f_0 L U} \frac{1}{\rho^*} \frac{\partial p'^*}{\partial x^*} + f^* v^*$

根据前述分析可得：若 $\frac{U^2/L}{f_0 U} = \frac{U}{f_0 L} \ll 1, \frac{\Delta P}{\pi L} \approx f_0 U$ ；若 $\frac{U^2/L}{f_0 U} = \frac{U}{f_0 L} \geq 1, \frac{\Delta P}{\pi L} \approx \frac{U^2}{L} \Rightarrow$ 若 $\frac{U}{f_0 L} \ll 1, \frac{\Delta P}{\pi f_0 L U} \approx 1$ ；

$\frac{U}{f_0 L} \geq 1, \frac{\Delta P}{\pi f_0 L U} \approx \frac{U}{f_0 L}$ 令 $R_0 = \frac{U}{f_0 L}, R_1 = \frac{\Delta P}{\pi L f_0 U}$ ，则： $\begin{cases} \text{若 } R_0 \ll 1, & R_1 = 1 \\ \text{若 } R_0 \geq 1, & R_1 = R_0 \end{cases}$ 不管哪种情况，气压梯度力项都会保留。

令 $\varepsilon = \frac{1}{f_0 \tau}, Ri = \frac{N^2 D^2}{U^2}$ ，方程可写为： $\varepsilon \frac{\partial u}{\partial t^*} + R_o \left(u^* \frac{\partial u^*}{\partial x^*} + v^* \frac{\partial u^*}{\partial y^*} \right) + \frac{D}{H} \frac{1}{R_i} w^* \frac{\partial u^*}{\partial z^*} = -R_1 \frac{1}{\rho^*} \frac{\partial p'^*}{\partial x^*} + f^* v^*$

2.2.4.2 基别尔数

定义 $\varepsilon = \frac{U/\tau}{f_0 U} = \frac{1}{f_0 \tau} = \frac{\tau_e}{\tau} = \frac{\text{惯性运动特征时间}}{\text{运动特征时间}}$

描述 f_0 是大气中惯性运动的特征频率， $1/f_0$ 可看做惯性运动的特征时间尺度 τ_e ，因此，基别尔数还可视为惯性运动的时间尺度与所研究运动的时间之比，从而**反映所研究运动的快慢问题**。

反应内容 $\begin{cases} \varepsilon \ll 1 & \text{慢过程，准定常} \\ \varepsilon \geq 1 & \text{快过程，非定常} \end{cases}$

2.2.4.3 罗斯贝数

定义 $R_0 = \frac{U^2/L}{f_0 U} = \frac{U}{f_0 L} = \frac{\text{特征水平惯性力项}}{\text{特征水平科氏力项}}$

描述 罗斯贝数的大小反映了**科氏力的相对重要性**

反应内容 ① $R_0 \leq 10^{-1}$ ， L 较大，则特征惯性力很小，加速度很小，可忽略，满足准地转条件。
② $R_0 \geq 10^0$ ， L 较小，则为非地转。

2.2.4.4 不同尺度运动的典型数据

中纬度 中纬度大尺度运动： $f_0 \sim 10^{-4} s, U \sim 10^1 m/s, L \sim 10^6 m$ $R_0 = \frac{U}{f_0 L} \sim 10^{-1} \ll 1$ 准地转

中纬度中小尺度运动： $f_0 \sim 10^{-4} s, U \sim 10^1 m/s, L < 10^5 m$ $R_0 = \frac{U}{f_0 L} \sim 10^0$ 非地转

热带 热带大尺度运动： $f_0 \sim 10^{-5} s, U \sim 10^1 m/s, L \sim 10^6 m$ $R_0 = \frac{U}{f_0 L} \sim 10^0$ 非地转

海洋 $f_0 \sim 10^{-4} s, U \sim 10^{-1} m/s$ 若要使 $R_0 = \frac{U}{f_0 L} < 10^{-1}$ 达到准地转，需要 $L \geq 10^4 m$

海洋速度比较慢，不需要特别大的水平尺度，就能够达到准地转。

总结

$$\textcircled{1} \quad \varepsilon \equiv \frac{1}{f_0 \tau} \sim \frac{\partial u}{\partial t} / f v$$

准地转平衡运动是缓慢变化($\varepsilon \ll 1$)的

$$\textcircled{2} \quad Ro \equiv \frac{U}{f_0 L} \sim \frac{\bar{v} \cdot \nabla u}{f v}$$

大尺度运动 ($Ro \ll 1$)

$$\textcircled{3} \quad Ri \equiv \frac{N^2 D^2}{U^2} \sim g \frac{\partial \ln \theta}{\partial z} / \left(\frac{\partial v}{\partial z} \right)^2$$

同时大气层结应是高度稳定的 ($Ri \gg 1$)

$$\textcircled{4} \quad \lambda \equiv \frac{D}{H} \quad \delta \equiv \frac{D}{L}$$

同理可得: 静力平衡近似的充分条件是 $\lambda = 1, \delta \ll 1$

2.2.4.5 地转参数 f 的简化

简化形式 $f = f_0 + \beta \cdot y + o\left(\frac{y^2}{a^2}\right)$, 其中 $y = a(\varphi - \varphi_0)$

若令 L 代表运动的径向水平尺度, 则前两项之比为: $\frac{\beta y}{f_0} \sim \frac{\cos \varphi_0 L}{\sin \varphi_0 a}$

推导过程

$$f = 2\Omega \sin \varphi, \text{ 把 } f \text{ 在 } \varphi_0 \text{ 处作泰勒级数展开} \Rightarrow \text{对 } y \text{ 展开: } f = f|_{\varphi_0} + \left. \frac{df}{d\varphi} \right|_{\varphi_0} (\varphi - \varphi_0) + \frac{1}{2} \left. \frac{d^2 f}{d\varphi^2} \right|_{\varphi_0} (\varphi - \varphi_0)^2 + \dots$$

$$= 2\Omega \sin \varphi_0 + 2\Omega \cos \varphi_0 (\varphi - \varphi_0) + o[(\varphi - \varphi_0)^2] = f_0 + \beta \cdot y + o\left(\frac{y^2}{a^2}\right); [y = a(\varphi - \varphi_0)]$$

近似地, $f \approx f_0 + \beta y$, 其中: $f_0 = 2\Omega \sin \varphi_0, \beta = \frac{2\Omega \cos \varphi_0}{a} = \left. \frac{df}{dy} \right|_{\varphi_0}$ 都是常量。

讨论

- ① 在中纬度地区, 若运动的经向水平尺度远小于地球半径时 $L \ll a$, 可取 $f \approx f_0$, 称为 **f 平面近似**。
- ② 高一级的近似为 **β 平面近似**: 当 f 处于系数地位不被微商时, 取 $f \approx f_0$ 为常数; 当 f 处于对 y 求导时, 取 $\frac{\partial f}{\partial y} = \beta$ 为常数。即 $f \approx f_0 + \beta y$ 其中 $f_0 = 2\Omega \sin \varphi_0, \beta = \frac{2\Omega \cos \varphi_0}{a} = \left. \frac{df}{dy} \right|_{\varphi_0}$ 都是常量
- ③ 科氏参数 f 是纬度 y 的非线性函数, β 平面近似 **部分考虑地球球面性**, 即把地球当作平面, 但又考虑科氏参数 f 的变化, 是近似地将 f 表示成 y 的线性函数, 而使大气运动方程组得到简化的近似方法。
- ④ 特别地, 赤道附近, 取赤道为中心纬度, 则: $\varphi_0 = 0, f_0 = 0 \Rightarrow f \approx \beta y$, 称为 **赤道 β 平面近似**。

2.3 P 坐标系

引入

局地直角坐标系中垂直坐标轴 z 是以长度(米)为单位来度量, 描述大气运动方程组物理意义比较清楚, 且运动方程和连续方程中均含有密度项。然而, 密度一般不是常规观测的物理量, 分析对比不同高度处的气压梯度力很不方便。于是, 在气象学中常采用气压 p 作为垂直坐标, 在实际工作中也进行等压面图的分析。

2.3.1 P 坐标系概述

2.3.1.1 P 坐标系定义

坐标 (x, y, p, t) 水平坐标不变, z 变为 p

物理基础 Z 坐标系转化为 P 坐标系的物理基础是 **静力平衡**: $-\frac{1}{\rho} \frac{\partial p}{\partial z} - g = 0 \Rightarrow P(z) = \int_z^H \rho g dz$

气压相当精确的等于该高度以上单位截面积空气柱的质量, 故气压与高度一一对应, p 坐标轴与 z 坐标轴反向。使用压力坐标时, 即默认静力平衡成立, 研究强对流运动时, 静力平衡不成立。

2.3.1.2 等高面与等压面

等高面 **空间高度相同的点**组成的面 (气压不等)

等压面 **气压相同的点**组成的面 (曲面, 海拔高度不等) 所以等压面分析位势高度场, 即高空图; 等高面分析

气压场，即地面图。

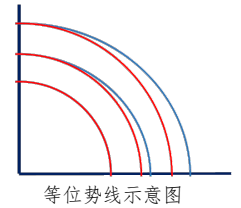
位势 **重力位势 geopotential**，单位质量空气从海平面上升到高度 Z 克服重力做功。

$$d\phi = g dz \Rightarrow \phi = \int_0^Z g dz \approx gZ \approx 9.8Z \quad \text{单位: 焦耳/千克}$$

位势米 当 $Z = 1$ 米时， $\phi = 9.8$ 焦耳/千克，定义：**1 位势米=9.8 焦耳/千克**

位势高度 定义位势高度： $H = \frac{\text{位势}}{1 \text{位势米}} = \frac{\int_0^Z g dz}{9.8}$

等位势面 **等位势面是水平面**，因为气块在等位势面上移动时，不需要克服重力做功，也就是说等位势面处处与重力相垂直，所以等位势面是水平面。**蓝色圈表示等重力位势线**，**红色圈表示等海拔高度线**。等位势面与等高面不重合或不平行，只在海平面重合。因为重力是纬度和高度的函数，在不同纬度上物体改变相同的高度位势的增量不同，所以除海平面外，等位势面与等高面不重合或不平行。



2.3.2 p 坐标系与 z 坐标系

2.3.2.1 p 坐标系与 z 坐标系的转换关系

关系式 $\frac{\partial \phi}{\partial p} = -\frac{1}{\rho} \quad \frac{1}{\rho} \nabla_h p = (\nabla_h \phi)_p$ **等高面上水平气压梯度力可以用等压面上的位势高度梯度表示**

$$\frac{\Delta p}{\Delta t} \sim \frac{\Delta z}{\Delta t} \quad \text{正变压} \Leftrightarrow \text{正变高} \quad \text{负变压} \Leftrightarrow \text{负变高}$$

垂直速度 $w = \frac{dz}{dt} \quad \omega = \frac{dp}{dt} \quad \text{大尺度零级近似: } \omega \approx -\rho g w \quad \text{上升 } w > 0, \omega < 0$

2.3.2.2 p 坐标系下大气运动方程组

运动方程 $\left(\frac{du}{dt}\right)_p = -\left(\frac{\partial \phi}{\partial x}\right)_p + fu \quad \left(\frac{dv}{dt}\right)_p = -\left(\frac{\partial \phi}{\partial y}\right)_p - fu$ 主要是气压梯度力的转换

静力平衡 $\frac{\partial \phi}{\partial p} = -\frac{RT}{p}$ 其中: $\frac{d}{dt} = \left(\frac{\partial}{\partial t}\right)_p + u \left(\frac{\partial}{\partial x}\right)_p + v \left(\frac{\partial}{\partial y}\right)_p + \omega \frac{\partial}{\partial p}$

连续方程 $\left(\frac{\partial u}{\partial x}\right)_p + \left(\frac{\partial v}{\partial y}\right)_p + \frac{\partial \omega}{\partial p} = 0$ 方程中不存在密度 哪一层上垂直运动最强?

热力学方程 $\left(\frac{\partial T}{\partial t}\right)_p + \left(u \frac{\partial T}{\partial x}\right)_p + \left(v \frac{\partial T}{\partial y}\right)_p - S_p \omega = \frac{\dot{Q}}{c_p}$, 其中 $S_p \equiv -T \frac{\partial \ln \theta}{\partial p} = \frac{RT}{pg} (\gamma_d - \gamma)$

理想气体 $p = \rho RT$

2.3.2.3 p 坐标系的优缺点

优点 ① 方程中减少密度变量，隐含在了等压面位势变化之中。气压梯度力变成了**线性项**，形式简单。

② 连续方程形式简单，成为一个**诊断方程**(没有时间导数项)。

③ 日常业务工作常采用等压面分析，便于利用 P 坐标系进行诊断计算与分析。

④ 等压面相对于水平面的坡度较小，它上面的分析近似地反映了等高面上的分析直观形象。

缺点 ① 大气**下边界不是坐标面**， P 随时间和空间而变化，在地形起伏区，不仅与地形相截形成许多空间，而且这些空间范围随时间变化，**很难正确地给出边界条件**。

② 相对于一些**中小尺度运动**，不满足静力平衡关系，不能使用 P 坐标系。如果使用常带来较大误差。

2.4 自由大气中的大气平衡运动

自由大气 距离地球表面 **1-2km 以上的大气层**，是大气的主要部分。在此层**摩擦力可以忽略不计**。

平衡运动 各种力的平衡条件下的大气水平运动。反映大气运动基本特征，有地转风、惯性运动、热成风等。由尺度分析可知：中纬度大尺度运动是准水平的，在水平方向上作用于大气的力基本上相互平衡的准地转运动。在低阶近似上，平衡运动可视为实际大气运动的近似代表。支配简单平衡运动的力的平衡关系（例如地转风平衡）常可作为理论分析或实际中的近似关系。

法向运动 自然坐标系中法向运动方程： $0 = -\frac{V^2}{R_T}$ 惯性离心力 $-\frac{1}{\rho} \frac{\partial p}{\partial n}$ 气压梯度力 $-fV$ 地转偏向力 详情参见天原 1.5.2.2

2.4.1 地转平衡与地转风

2.4.1.1 地转风的概念

地转关系 由零级近似中可知水平方向上地转偏向力与气压梯度力几乎平衡。即 $f u = -\frac{1}{\rho} \frac{\partial p}{\partial y}$ $f v = \frac{1}{\rho} \frac{\partial p}{\partial x}$

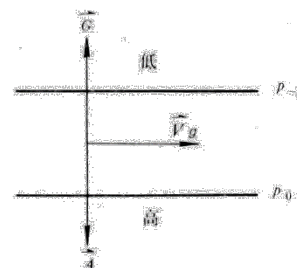
地转风 满足上述关系的风称为地转风。即自由大气(无摩擦力)中空气的水平(无 w)等速(无加速度)直线(无惯性离心力)运动,是指无加速度、惯性离心力不起作用情况下的运动。

地转风又可以看作是与等压线(等高线)平行的水平匀速直线运动。地转风沿着等压线或等高线流动。

2.4.1.2 描述地转风的公式

分量形式 由地转平衡方程变换可得: $\begin{cases} u_g = -\frac{1}{\rho f} \frac{\partial p}{\partial y} \\ v_g = \frac{1}{\rho f} \frac{\partial p}{\partial x} \end{cases}$ p 系: $\begin{cases} u_g = -\frac{1}{f} \frac{\partial \phi}{\partial y} \\ v_g = \frac{1}{f} \frac{\partial \phi}{\partial x} \end{cases}$

向量形式 $\vec{V}_g = -\frac{1}{f\rho} \nabla_h p \times \vec{k}$ p 坐标系形式: $\vec{V}_g = -\frac{1}{f} \nabla_h \phi \times \vec{k} = \frac{g}{f} \nabla H = -\frac{g}{f} \nabla z$



2.4.1.3 地转风的特点

适用范围 地转关系是在无摩擦, 不考虑加速度和垂直运动引起的地转偏向力的情况下近似成立的。这只是一中近似, 绝对的地转平衡不存在, 但实际风和地转风相差很小(由于气流曲率很小)。需要注意: 赤道上不能建立地转平衡关系, 低纬地区地转风原理也不能适用。

风速特征 地转风与气压梯度力成正比, 同纬度风速大的地方等压(高)线密集, 风速小的地方等压(高)线稀疏。地转风速大小与纬度成反比。纬度越高, 同样风速地转偏向力越大→则梯度力相同时, 纬度越高, 地转风速越小。

运动学特征 地转风与等压线平行, 在北半球, 背风而立, 低压在左, 高压在右。风压定律 南半球相反

散度特征 地转风基本水平散度为零 (忽略 $\frac{\partial f}{\partial y}$ 随纬度变化)。 $\nabla_p \cdot \vec{V}_g = \frac{\partial u_g}{\partial x} + \frac{\partial v_g}{\partial y} = -\frac{g}{f} \left(\frac{\partial^2 z}{\partial x \partial y} \right) + \frac{g}{f} \left(\frac{\partial^2 z}{\partial x \partial y} \right) = 0$

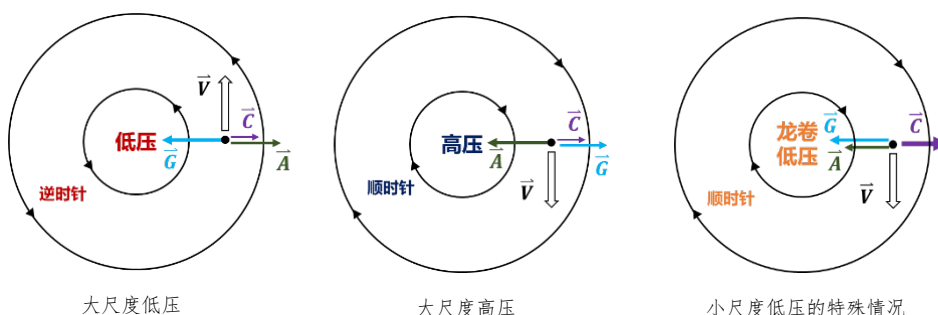
2.4.2 惯性运动和旋衡运动

惯性运动 气压分布均匀时, 科氏力与惯性离心力相平衡的大气运动流场。 $\frac{V^2}{R} + fV = 0 \rightarrow R = -\frac{V_i}{f}$

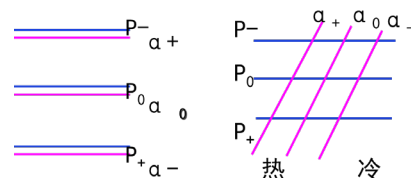
惯性运动为一个半径为 $|R|$ 的圆, 又称为惯性振荡。北半球 $R < 0$ 为反气旋式的。

$$\text{周期} = \frac{|2\pi R|}{V_i} = \frac{2\pi}{|f|}$$

旋衡运动 在小尺度运动中, 水平气压梯度力与惯性离心力相平衡的大气运动流场。科氏力相对于水平气压梯度力可以忽略。 $\frac{V^2}{R} = -\frac{1}{\rho} \frac{\partial p}{\partial n} \Rightarrow V_c = \sqrt{-\frac{R}{\rho} \frac{\partial p}{\partial n}}$ 当 R_0 足够大时, 可取旋衡近似。科氏力比惯性离心力小, 水平气压梯度力与惯性离心力相平衡。



2.5 热成风



2.5.1 正压大气和斜压大气

正压大气 密度的空间分布只依赖于气压，即 $\rho = \rho(p)$ ，这种大气状态称作正压大气。正压大气中等压面、等密度面和等温面重合在一起，地转风不随高度，温度分布均匀。

斜压大气 密度的空间分布不仅依赖于气压而且依赖于温度，即 $\rho = \rho(p, T)$ ，这种状态称作斜压大气。斜压大气中等压面与等密度面、等温面是交割的。用力管项（斜压矢量） $-\nabla\alpha \times \nabla P$ 来表征。

力管项 **正压流体**：等压面平行于等容面，力管项为 0，等压面上温度相同。

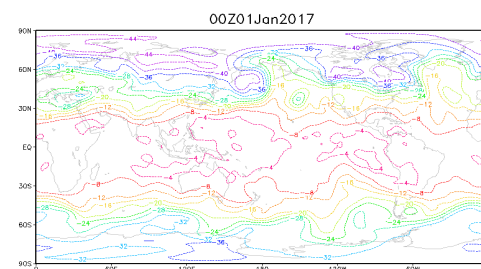
斜压流体：等压面与等容面相交，力管项不为 0，等压面上有温度梯度。

$$P = \rho RT, \rho = \frac{P}{RT} = f(P, T) \Rightarrow \text{大气一般是斜压的。}$$

表现形式 由等压面上温度分布体现： $(\nabla T)_P$

存在等温线，即斜交；等温线越密集，则斜压性越强。

实际分析 大气斜压性与等压面上温度分布不均匀相联系，与热力过程相对应。驱动中纬度大气运动的主要机制是斜压性，驱动热带大气运动的主要机制是潜热释放。中纬度气压梯度大于低纬度，表明低纬度温度梯度小。

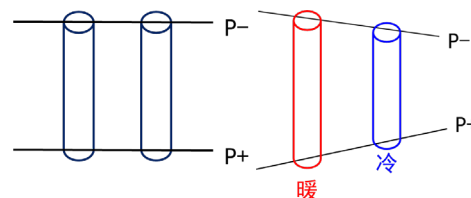


明显中纬度地区斜压性大

2.5.2 热成风

热成风 地转风 V_g 随高度的改变量，即上下两层地转风之矢量差： $V_T = V_{g上} - V_{g下}$ 方向由低层指高层。其不是真实的风，热成风关系是一个极好的诊断关系，揭示了静力平衡大尺度运动中风场、气压场和温度场之间的关系。即 $\vec{V}_T = -\frac{1}{f} \nabla(\phi_{up} - \phi_{down}) \times \vec{k} = -\frac{1}{f} \nabla(9.8\Delta H_{\text{与温度有关}}) \times \vec{k}$

- 物理模型**
- ① 若等压面上温度分布均匀， P^+ 与 P^- 之间二个气柱重量相同，密度相同，高度也相同，故两者平行，热成风为零。
 - ② 若等压面上温度分布不均匀，暖区密度减少，气柱膨胀， P^+ 与 P^- 之间两个气柱重量相同，密度暖区小于冷区，高度 $h_1 > h_2$ ， P^+ 与 P^- 不平行，两层压力梯度力必然不同，热成风不为零。



热成风方程 $\frac{\partial \vec{V}_g}{\partial \ln p} = -\frac{R}{f} \vec{k} \times \nabla_p T$ $\vec{V}_T = \frac{g}{f} \ln \frac{p_0}{p_1} \vec{k} \times \nabla T = \frac{1}{f} \vec{k} \times \nabla(\phi_1 - \phi_0)$

热成风的推导

(1) 已知地转风： $\vec{V}_g = -\frac{1}{f} \nabla \phi \times \vec{k}$ ，则其随高度的变化为： $\frac{\partial \vec{V}_g}{\partial p} = -\frac{1}{f} \nabla \left(\frac{\partial \phi}{\partial p} \right) \times \vec{k}$ ，使用静力方程代入： $\frac{\partial \phi}{\partial p} = -\frac{RT}{p}$ ，

$$\frac{\partial \vec{V}_g}{\partial p} = -\frac{R}{fP} \vec{k} \times (\nabla T)_P \Rightarrow \frac{\partial \vec{V}_g}{\partial \ln P} = -\frac{R}{f} \vec{k} \times (\nabla T)_P \quad \text{可见：等压面上温度分布的不均匀，引起了热成风。}$$

(2) 或者根据定义： $\vec{V}_T = \vec{V}_g(P_1) - \vec{V}_g(P_2) = -\frac{R}{f} \int_{p_0}^{p_1} (\vec{k} \times \nabla T)_p d \ln p$ ，其中 $P_1 < P_0$ ，令 \bar{T} 代表两个等压面之间的平均温度，则 $\vec{V}_T = -\frac{R}{f} (\nabla \bar{T} \times \vec{k})_p \ln \frac{p_0}{p_1} = \frac{1}{f} \vec{k} \times \nabla_h(\phi_1 - \phi_0)$ 可见热成风正比于上下两层位势高度差的梯度（而这一项正比于温度 $\frac{\partial \phi}{\partial p} = -\frac{1}{\rho} = -\frac{RT}{p} \Rightarrow \partial \phi = -RT \partial \ln p$ ）

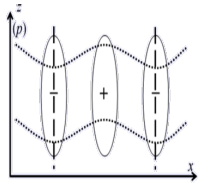
分量有： $u_T = u_g(P_1) - u_g(P_0) = -\frac{R}{f} \left(\frac{\partial \bar{T}}{\partial y} \right)_p \ln \frac{p_0}{p_1}$

$$u_T = -\frac{1}{f} \frac{\partial}{\partial y} (\phi_1 - \phi_0) \quad v_T = v_g(P_1) - v_g(P_0) = \frac{R}{f} \left(\frac{\partial \bar{T}}{\partial x} \right)_p \ln \frac{p_0}{p_1} = \frac{1}{f} \frac{\partial}{\partial x} (\phi_1 - \phi_0)$$

- 特点**
- ① 热成风与等平均温度线平行，北半球背热成风而立，低温在左，高温在右。
 - ② 热成风风速大小与平均温度梯度或厚度梯度成正比，与纬度成反比，等温线越密集热成风越大。
 - ③ 斜压大气是地转风随高度改变的充要条件，也就是正压大气中不存在热成风。

典型案例

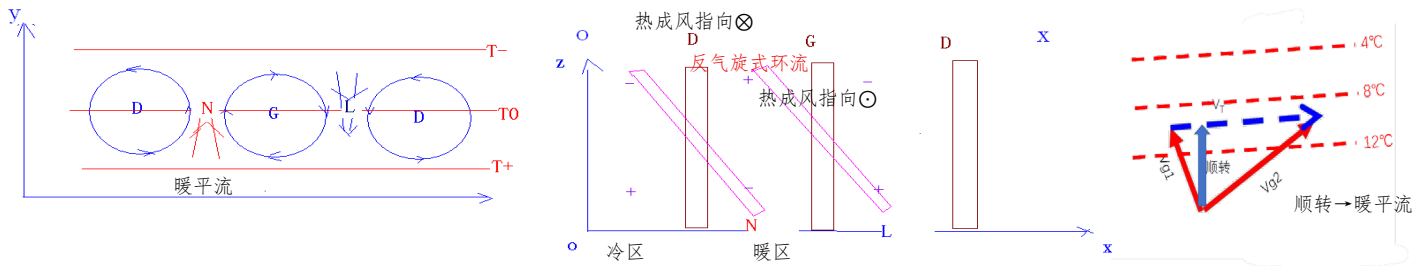
- ① 副热带高压：从低层、到中层、直到高层，都表现为反气旋，是一个正压系统，由动力作用导致。（不完全正确，副热带高压仍然存在一定的热力过程）
- ② 夏季的青藏高原：高层是反气旋，低层是气旋，是一个斜压系统，由热力作用导致。
- ③ 整层大气的平均运动，体现的是上下相同的部分，属于正压分量，动力过程结果。
- ④ 上层与下层大气的差，体现的是上下不同的部分，属于斜压分量，热力过程结果。



具体分析

整层运动的平均值 $\bar{\vec{V}} = \frac{1}{p_s - p_0} \int_{p_s}^{p_0} \vec{V} dp$ 属于正压分量；而 $\vec{V} - \bar{\vec{V}}$ 称为斜压分量。例如 500hPa 为对流层中层，体现的是大气上下平均状况，是相当正压层（中纬度斜压系统属于相当正压结构：风向不变，风速先增大后减小，整层风速平均约为 500hPa 风速）。

- ⑤ 天气系统槽脊倾斜：这种倾斜能够使得扰动吸收气流中的有效位能得以增长。



冷暖平流

地转风随高度逆转时 \Rightarrow 气层中有冷平流

地转风随高度顺转时 \Rightarrow 气层中有暖平流

稳定度分析

- ① 上层风逆转，下层风顺转，气层不稳定，因为上层风逆转有冷平流，上层温度降低，而下层风顺转有暖平流，下层温度升高，下暖上冷，暖空气上升，冷空气下沉，所以不稳定。
- ② 上层风顺转，下层风逆转，气层稳定，因为上层风顺转有暖平流，上层温度升高，下层风逆转有冷平流，下层温度降低，下冷上热，所以稳定。

2.6 地转偏差

地转偏差

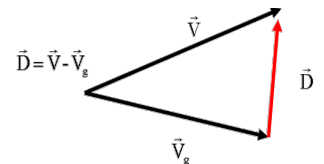
实际风与地转风之间的矢量差称为地转偏差 $\vec{D} = \vec{V} - \vec{V}_g$ 或偏差风

地转风是地转平衡情况下的大气风场，而在实际大气中，地转风平衡只是相对而暂时的。如果不平衡，可能有摩擦力或产生加速度，故分为两种情况讨论。

分类情况

$$\frac{d\vec{V}}{dt} = -\frac{1}{\rho} \nabla p - f\vec{k} \times \vec{V} + \vec{F}$$

- ① 可能力不平衡产生加速度
- ② 可能梯度力、偏向力、摩擦力三力平衡



2.6.1 自由大气中的地转偏差

自由大气

$$\vec{V}' = \frac{1}{f} \vec{k} \times \frac{d\vec{V}_h}{dt} \quad (\text{不考虑摩擦力，地转偏向力与气压梯度力不平衡产生加速度})$$

地转偏差和水平加速度方向垂直，在北半球指向水平加速度的左侧。

公式推导

$$\frac{d\vec{V}}{dt} = -\frac{1}{\rho} \nabla p - f\vec{k} \times \vec{V} \quad \text{需要凑出} \quad \vec{V}_g = \frac{1}{f\rho} \vec{k} \times \nabla p \quad \vec{V}_{\text{实际风}} = -\vec{k} \times (\vec{k} \times \vec{V}), \text{用} \vec{k} \text{左乘上式, } \frac{1}{f} \vec{k} \times \frac{d\vec{V}}{dt} = -\frac{1}{f\rho} \vec{k} \times \nabla p - \vec{k} \times (\vec{k} \times \vec{V}) \quad \text{可得} \quad \vec{D} = \vec{V} - \vec{V}_g = \frac{1}{f} \vec{k} \times \frac{d\vec{V}}{dt}$$

这说明，如果地转偏差为零，则天气系统不会发生任何改变；地转偏差是天气系统变化的重要原因。

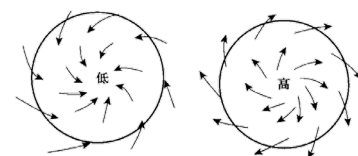
辐合辐散 地转偏差的辐散或辐合实际是水平风的辐散或辐合。地转偏差的存在，使空气微团穿越等压线，引起质量的重新分布，造成风压场的变化，是天气系统演变的一个动力因子。
若实际风由高压指向低压，气压梯度力做正功，制造动能；若实际风由低压指向高压，气压梯度力做负功，耗散动能。因此，地转偏差对大气动能的制造和转换有着重要作用。

2.6.2 摩擦层中的地转偏差

情况分析 摩擦力导致风速减小，使地转偏向力减小，合力导致向低压一侧运动，导致实际风穿越等压线。
实际风可分解为平行和垂直于等压线的分量，平行的分量是满足地转关系的。 $\vec{G}_{\text{梯度力}} = \vec{A}_{\text{偏向力}} + \vec{F}$

公式 $\vec{D} = -\frac{1}{f}\vec{k} \times \vec{F}$ 地转偏差垂直于摩擦力的方向，并指向摩擦力方向的右方（风速左侧）

推导 $0 = -\frac{1}{\rho}\nabla p - f\vec{k} \times \vec{V}_{\text{实际风}} + \vec{F}$ $\vec{V}_{g\text{地转风}} = \frac{1}{f\rho}\vec{k} \times \nabla p$ $\vec{V} = -\vec{k} \times (\vec{k} \times \vec{V})$
用 \vec{k} 左乘上式，两边同时除 f ， $0 = -\frac{1}{f\rho}\vec{k} \times \nabla p_{\text{地转风}} - \vec{k} \times (\vec{k} \times \vec{V}) + \frac{1}{f}\vec{k} \times \vec{F}$
 $0 = (\vec{V} - \vec{V}_g)_{\text{地转偏差}} + \frac{1}{f}\vec{k} \times \vec{F}$ $\vec{D} = -\frac{1}{f}\vec{k} \times \vec{F}$



摩擦造成的辐合辐散